

Ultimo aggiornamento delle informazioni: Aprile 2025

Configurazione di prodotto: RT68.S1

RT68.S1: Corpo illuminante L=880 - Neutral White - - DALI integrato - Ottica Very Wide Flood (Down) - UGR<19 - 28.1W 4959lm - 4000K - Bianco/Bianco/Bianco Trasparente

**Codice prodotto**

RT68.S1: Corpo illuminante L=880 - Neutral White - - DALI integrato - Ottica Very Wide Flood (Down) - UGR<19 - 28.1W 4959lm - 4000K - Bianco/Bianco/Bianco Trasparente

Descrizione tecnica

Corpo illuminante realizzato in estrusione di alluminio verniciato, cornice e tappi in materiale termoplastico stampato ad iniezione. Ottica Very Wide Flood (80°) in versione Space Opti-Diamond (PMMA) con cover posteriore disponibile in versione Bianca (Bianco trasparente) o Nera (Nero Trasparente). Alimentatore dimmerabile DALI integrato con sorgente LED (Mid-Power) monocromatica Neutral White (4000K) CRI80 ad emissione diretta. Versione con luminanza controllata UGR < 19 - conforme alla norma per impiego in ambienti con uso di videotermini (L<3000 cd/m²).

Installazione

A binario tensione di rete

Colore

Bianco/Bianco/Bianco Trasparente (S1)

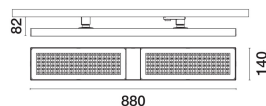
Peso (Kg)

2.73

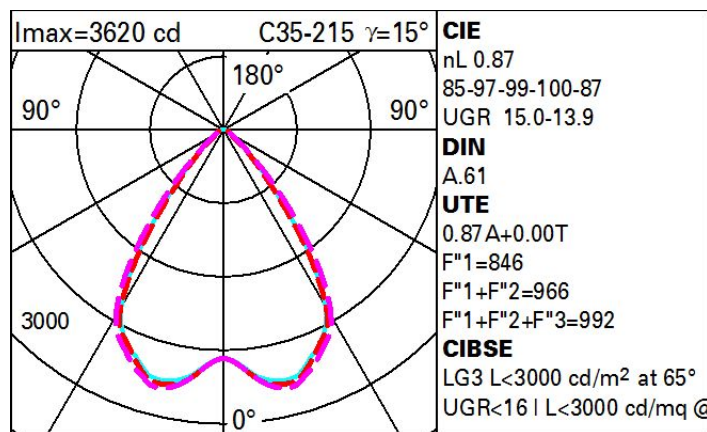
Montaggio

angolo di muro interno|binario dali|binario trifase|incasso a soffitto|a soffitto

Soddisfa EN60598-1 e relative note

**Dati tecnici**

| | | | |
|--|-------|--|---|
| Im di sistema: | 4959 | Codice lampada: | LED |
| W di sistema: | 26 | Numero di lampade per vano ottico: | 1 |
| Im di sorgente: | 5700 | Codice ZVEI: | LED |
| W di sorgente: | 26 | Numero di vani ottici: | 1 |
| Efficienza luminosa (lm/W, dati di sistema): | 190.7 | Power factor: | Vedi istruzioni di installazione |
| Im in modalità emergenza: | - | Corrente di spunto (in-rush): | 10 A / 220 µs |
| Flusso totale emesso a 90° o superiore [Lm]: | 0 | Massimo numero di apparecchi collegabili a ogni interruttore automatico: | B16A: 18 apparecchi C10A: 31 apparecchi C16A: 51 apparecchi |
| Light Output Ratio (L.O.R.) [%]: | 87 | % minima di dimmerazione: | 1 |
| CRI (minimo): | 80 | Protezione alle sovratensioni: | 2kV Modo comune e 1kV Modo differenziale |
| Temperatura colore [K]: | 4000 | Control: | DALI-2 |
| MacAdam Step: | 3 | | |

Polare

Coefficienti di utilizzazione

| R | 77 | 75 | 73 | 71 | 55 | 53 | 33 | 00 | DRR |
|------|----|----|----|----|----|----|----|----|-----|
| K0.8 | 72 | 67 | 63 | 60 | 66 | 62 | 62 | 58 | 67 |
| 1.0 | 77 | 72 | 68 | 65 | 71 | 67 | 67 | 63 | 73 |
| 1.5 | 82 | 79 | 75 | 73 | 77 | 75 | 74 | 70 | 81 |
| 2.0 | 86 | 83 | 80 | 78 | 82 | 79 | 78 | 75 | 87 |
| 2.5 | 88 | 85 | 84 | 82 | 84 | 82 | 81 | 78 | 90 |
| 3.0 | 89 | 87 | 86 | 84 | 86 | 85 | 83 | 81 | 93 |
| 4.0 | 91 | 89 | 88 | 87 | 88 | 87 | 85 | 83 | 95 |
| 5.0 | 91 | 90 | 89 | 88 | 89 | 88 | 86 | 84 | 96 |

Curva limite di luminanza

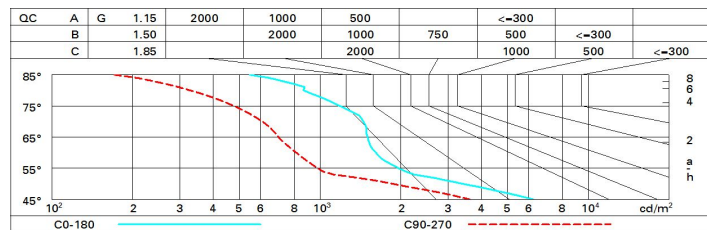


Diagramma UGR

| Corrected UGR values (at 5700 lm bare lamp luminous flux) | | | | | | | | | | | |
|--|------|---------------------|------|------|------|------|-------------------|------|------|------|------|
| Riflect.: ceil/cav walls work pl. Room dim x y | | 0.70 | 0.70 | 0.50 | 0.50 | 0.30 | 0.70 | 0.70 | 0.50 | 0.50 | 0.30 |
| | | 0.50 | 0.30 | 0.50 | 0.30 | 0.30 | 0.50 | 0.30 | 0.50 | 0.30 | 0.30 |
| | | 0.20 | 0.20 | 0.20 | 0.20 | 0.20 | 0.20 | 0.20 | 0.20 | 0.20 | 0.20 |
| | | viewed crosswise | | | | | viewed endwise | | | | |
| 2H | 2H | 14.9 | 15.6 | 15.2 | 15.9 | 16.1 | 14.0 | 14.7 | 14.3 | 15.0 | 15.2 |
| | 3H | 15.0 | 15.7 | 15.3 | 16.0 | 16.2 | 13.9 | 14.6 | 14.2 | 14.9 | 15.2 |
| | 4H | 15.0 | 15.7 | 15.4 | 16.0 | 16.3 | 13.9 | 14.5 | 14.2 | 14.8 | 15.1 |
| | 6H | 15.1 | 15.6 | 15.4 | 16.0 | 16.3 | 13.8 | 14.4 | 14.1 | 14.7 | 15.0 |
| | 8H | 15.1 | 15.6 | 15.4 | 16.0 | 16.3 | 13.8 | 14.3 | 14.1 | 14.7 | 15.0 |
| | 12H | 15.0 | 15.6 | 15.4 | 15.9 | 16.3 | 13.7 | 14.3 | 14.1 | 14.6 | 15.0 |
| 4H | 2H | 14.7 | 15.4 | 15.1 | 15.7 | 16.0 | 14.0 | 14.7 | 14.4 | 15.0 | 15.3 |
| | 3H | 14.9 | 15.4 | 15.3 | 15.8 | 16.1 | 14.0 | 14.6 | 14.4 | 14.9 | 15.3 |
| | 4H | 15.0 | 15.5 | 15.4 | 15.8 | 16.2 | 14.0 | 14.5 | 14.4 | 14.8 | 15.2 |
| | 6H | 15.0 | 15.4 | 15.5 | 15.8 | 16.3 | 13.9 | 14.4 | 14.4 | 14.8 | 15.2 |
| | 8H | 15.0 | 15.4 | 15.5 | 15.8 | 16.3 | 13.9 | 14.3 | 14.4 | 14.7 | 15.2 |
| | 12H | 15.0 | 15.4 | 15.5 | 15.8 | 16.3 | 13.9 | 14.2 | 14.3 | 14.7 | 15.1 |
| 8H | 4H | 14.9 | 15.3 | 15.3 | 15.7 | 16.1 | 14.0 | 14.4 | 14.4 | 14.8 | 15.2 |
| | 6H | 15.0 | 15.3 | 15.4 | 15.7 | 16.2 | 14.0 | 14.3 | 14.5 | 14.8 | 15.2 |
| | 8H | 15.0 | 15.3 | 15.5 | 15.7 | 16.2 | 14.0 | 14.3 | 14.5 | 14.7 | 15.2 |
| | 12H | 15.0 | 15.2 | 15.5 | 15.7 | 16.2 | 14.0 | 14.2 | 14.5 | 14.7 | 15.2 |
| 12H | 4H | 14.9 | 15.2 | 15.3 | 15.6 | 16.1 | 14.0 | 14.3 | 14.4 | 14.8 | 15.2 |
| | 6H | 14.9 | 15.2 | 15.4 | 15.7 | 16.2 | 14.0 | 14.2 | 14.5 | 14.7 | 15.2 |
| | 8H | 15.0 | 15.2 | 15.5 | 15.7 | 16.2 | 14.0 | 14.2 | 14.5 | 14.7 | 15.2 |
| Variations with the observer position at spacing: | | | | | | | | | | | |
| S = | 1.0H | 2.7 / -3.8 | | | | | 3.0 / -4.4 | | | | |
| | 1.5H | 5.2 / -4.3 | | | | | 5.2 / -4.9 | | | | |
| | 2.0H | 7.1 / -4.9 | | | | | 7.1 / -5.2 | | | | |